

# フチジリ沢・クラミ沢流域（箱根外輪山北東麓）の水文地質について

横山尚秀\*・内山佳美\*・三橋正敏\*

## Hydrogeological characteristics of the Kurami-sawa basin and the Fuchijiri-sawa basin, on the north-eastern slope of Hakone caldera rim

Takahide YOKOYAMA\*, Yoshimi UCHIYAMA\* and Masatoshi MITSUHASHI\*

### 概 要

箱根火山外輪山の明神岳北東麓の中腹にあるクラミ沢とフチジリ沢を試験流域に設定し、2012年度から降水量などの気象と河川流量、濁度、水温などの水文観測を主とするモニタリング調査を開始した。これらの2流域では、古くから間伐などの森林管理が行われており、適切な管理の下に樹木および林床植生の生育とそれに伴う流域の長期的な流況の変化を森林環境モニタリング調査の中で検証し、また懸念されているシカ採食害の発生とその推移についても予測、確認していく計画である。そのため、試験流域の特徴、とくに水文地質を把握しておく必要があり、地形・地質の現地踏査、気象・河川流量等の水文観測を行った。その結果、次の流域特性が明らかになった。①クラミ沢とフチジリ沢の両流域には苧野溶岩グループ・金時山体溶岩グループが分布し、フチジリ沢の方が苧野溶岩グループの占める割合が多い。②両沢とも河床勾配の変換点に崖錐堆積が認められ、そこに湧水帯が形成され、沢の水源となっている。③湧水帯より下流側では、年間を通じて流水が観測された。しかし、フチジリ沢の方がクラミ沢より実流量・比流量共に多く、流域特性とくに地下水の関与する基底流出に差があると考えられた。④両沢で2回の大雨時の流出を調査し、洪水時の流量と水質の変化を比較検討した。その結果、両沢の流量の増大に差が認められ、ピーク流量の出現にばらつきがあることから、更なる原因の究明が欠かせないことが分かった。さらに、⑤降雨時とくに流出ピーク時の電気伝導度、水質構成から表面流出による水質希釈を観測し、流域水収支の把握に向けた直接流出・基底流出の分離に関わる条件設定に向けた情報を得ることが出来た。

### I はじめに

かながわ水源エリア内に設定された4試験流域では、想定されている水源管理のために行われる間伐や植生保護柵設置などの効果・影響を予測評価するため、森林水文学的な視点から対照流域法によるモニタリング調査を行っている。調査では、施業前後の森林植生等と流況の変化を調べ、その効果を評価して流域の順応的な管理を進めていく。

これまでの森林の水源かん養機能と森林管理の効果・影響に関する様々な調査・研究（たとえば、

宝ほか、2004、真板ほか、2005、蔵本ほか、2010、蔵治ほか、2014など）では、伐採等による流域の森林植生の変化に加え、地質等の流域特性による影響も小さくないことが明らかになっている（真板・鈴木、2008）。このため、モニタリング調査においては、短期的にはまだ把握されていない流出や流域の水文地質などの流域特性を解明し、中期的には森林の生育にともなう流況変化やニホンシカの生息とその影響の変化（林床植生への影響）など、今後の推移を見極めながら調査を進めて行く必要がある。

試験流域の一つであるフチジリ沢・クラミ沢の流域は、透水性が良い火山斜面に位置し、急峻な上、4試験流域の中では面積が広く、流域内での浸透・湧出を反映して流況が異なるなど、他の3流域とは水文特性が異なる流域として位置づけられている(横山ほか・2013)。しかし、調査地域を含む山麓の水文特性については、荻野ほか(1987)や足柄上地区地下水調査研究会(2004)による取り組みがあるものの、本格的な調査研究は行われていなかった。そこで、本モニタリング調査では、先ず正確なデータの収集から始め、試験流域での2000mmを超える多い年降水量、火山斜面流域としての流出状況、とくに年間を通じて涸れない溪流の水源と流程に沿った流量変化、出水時の流量変化など流域特性の把握に努め、中期的な変化の見出のための基礎資料の修得を進めている。

本報告は、平成25・26(2013・2014)年度に行った地形図、地質図および空中写真に基づく地形と地表地質の現地踏査、流量調査、土壌深度調査の成果を記載した。すなわち、現地踏査では沢沿いに河床の岩相などの地質、礫の状況などを調べ、渇水時に流程の流量を測定して少雨期の表流水の増減(涵養と浸透)をとりまとめ比較検討した。また、大雨時の降雨と流量を連続観測し、流量時系列変化につい

て両流域を比べ異同の把握を試みた。これらの検討により、両流域が本来備えている地形・地質とそれに由来する流況を流域特性として捉え、整理した。

## II 調査地域

### 1 調査地域の地形・地質、土壌および植生

フチジリ沢およびクラミ沢は、箱根火山外輪山の明神ヶ嶽の東斜面にあって、フチジリ沢は安沢川、クラミ沢は柄沢となって流下し、下流で合流して柄沢として狩川に注ぐ(図1、写真1)。両流域共に標高が大よそ500m以上の高い地域に位置し、玄武岩質溶岩や火砕流堆積物など不透水性堆積物を反映しているためか、試験流域では多くの火山同様の地下浸透があるものの、中流部で地下水の渓谷への湧き出しがあって、流域末端では年間を通じて流水が観測されている(横山ほか、2013)。

しかし、外輪山東麓では、全般的に透水性の良い火山堆積物を反映して裾野では表流水が地下浸透しやすく、涸れ沢となっているところが多い。そして、外輪山東麓の斜面で地下浸透した表流水は地下水となって流下し、下流域の柄川、狩川で地表に湧出するほか、足柄平野の地下水をかん養している。そして、足柄平野にとって箱根外輪山は酒匂川と共

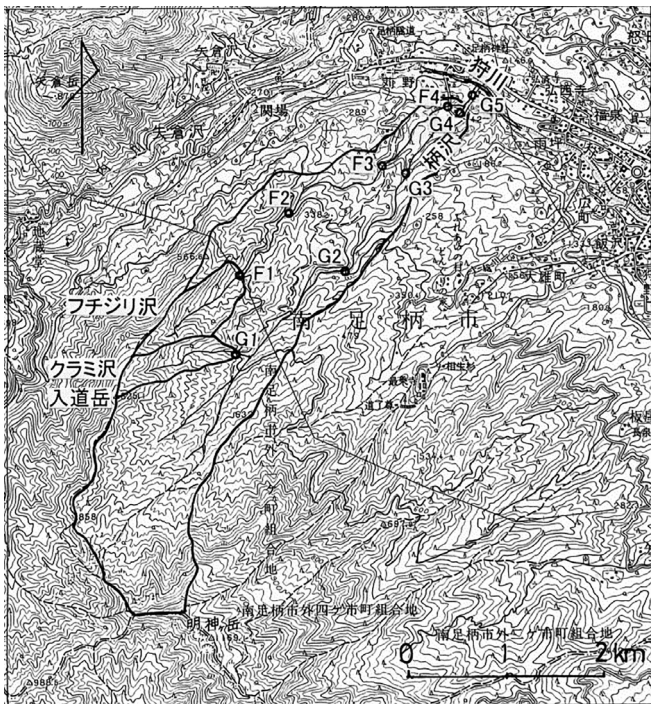


図1 調査地域位置図(F1～G5は流量調査地点)  
国土地理院発行1/5万地形図小田原を使用

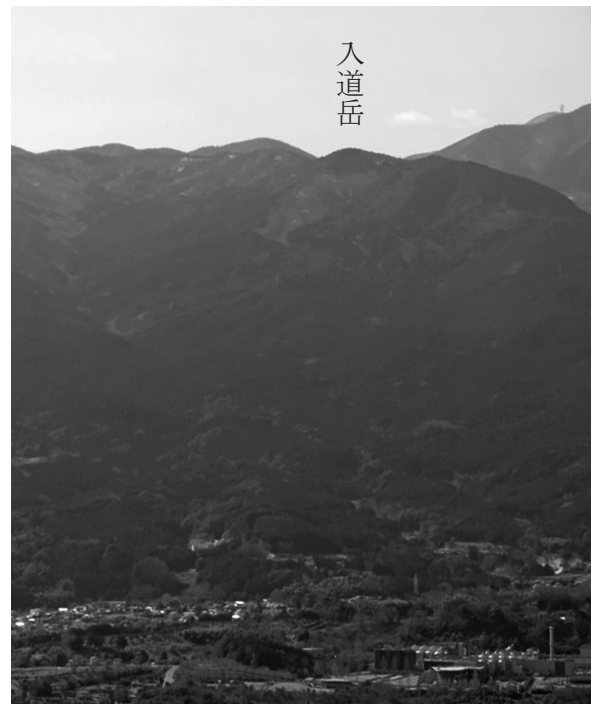


写真1 箱根外輪山と調査地域

に有望な水源として位置づけられている（横山ほか，1999）。箱根外輪山における試験流域の位置を斜面の模式図（図2）上に示した。

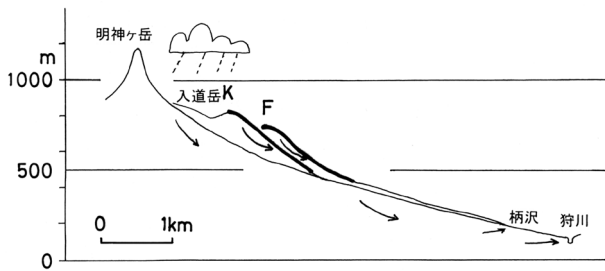


図2 箱根外輪山斜面における調査地域の位置  
太線は試験流域（F：フチジリ沢、K：クラミ沢）、矢印は水の動きを示す

箱根火山の地形・地質については、鈴木（1971）、日本地質学会国立公園地質リーフレット1「箱根火山」編集委員会（2007）および長井雅史・高橋正樹（2008）らの研究がある。さらに、土壌については土地分類基本調査（1985）が、水文については鈴木ほか（2011）の研究がある。これらをもとに現地調査を行って調査地域の地形・地質等の概要を次に取りまとめた。

(1) 地形

試験流域のフチジリ沢およびクラミ沢は、箱根火山の外輪山の一つである明神ヶ岳の北東斜面に並んで位置している（図3）。明神ヶ岳は、北側の狩川の渓谷を挟んで金時山と接し、南側は明星ヶ岳に連なるカルデラ縁の一部を形成している。両試験流域は、標高1,169mの明神ヶ岳から標高150mの

足柄平野（狩川）までの3kmの間に標高差が1,000mにおよぶ外輪山斜面のほぼ上半にあつて、最高部が825m、最低部は430mの北東方向に開いた流域で、侵食が進んだ横長の山地流域である。両流域の形状等を表1に示した。

両流域の河床縦断面（図4左：フチジリ沢、図3の断面線A-A'投影、図4右：クラミ沢、図3の断面線B-B'投影）によれば、フチジリ沢では標高500mと標高570mに段状地形が認められ、地形変換点となっている。これらの場所は滝となっている。夫々上滝、下滝と呼ぶことにすると、河床勾配は上滝より上流（荏野溶岩グループ）が18.5°、上滝～下滝の間（崖錐帯／湧水帯）が10.1°、下滝より下流（金時山溶岩グループ）が8.1°になっており、上流側の荏野溶岩グループ地域の勾配がきつい。一方、クラミ沢では、フチジリ沢ほど明瞭でないが、標高640mあたりに地形変換点が認められ、地形変換点より上流側の荏野溶岩グループ域の傾斜が19.9°、崖錐帯（湧水帯）では12.1°、下流側の金時山溶岩グループ域が10.4°である。

なお、両沢の人工施設の設置状況は、両沢の調査地域の末端に夫々林道に架かる橋が設置されているほか、クラミ沢に治山堰が橋を挟んで約50m離れて2基設置されているのみと少なく、流域の河川形態は自然がよく残されている。クラミ沢の2ヶ所の治山堰（上側の堰を写真2に示す）は下流からの魚類の遡上を妨げているが、フチジリ沢では下滝

表1 クラミ沢及びフチジリ沢の形状

項目	クラミ沢	フチジリ沢	備考
頂部標高	825 m	785 m	地形図判読
最下部標高	490 m	435 m	同上
高度差	335 m	350 m	
流域長	1290 m	1380 m	
傾斜	14.6°	14.2°	高度差 / 流域長
流域幅	320 m	530 m	
流域面積	34 ha	43 ha	
荏野溶岩G域	14 ha	29 ha	41%、67%
金時山溶岩G	20 ha	14 ha	59%、33%

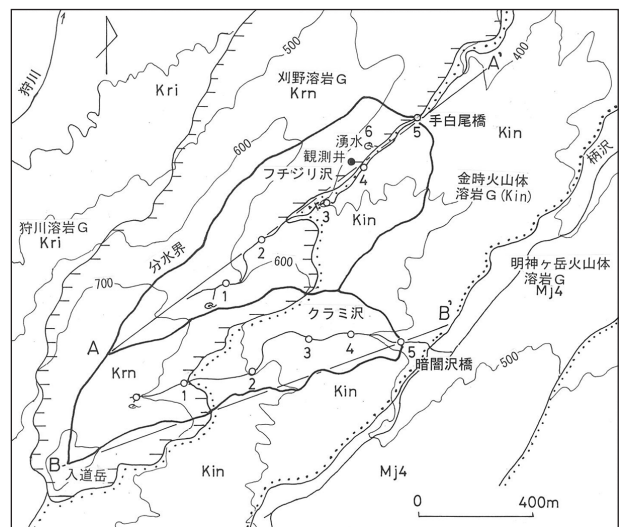


図3 調査地域と地質

Kx、Mx は溶岩グループ、A-A'、B-B' は縦断面位置、番号は流量調査地点

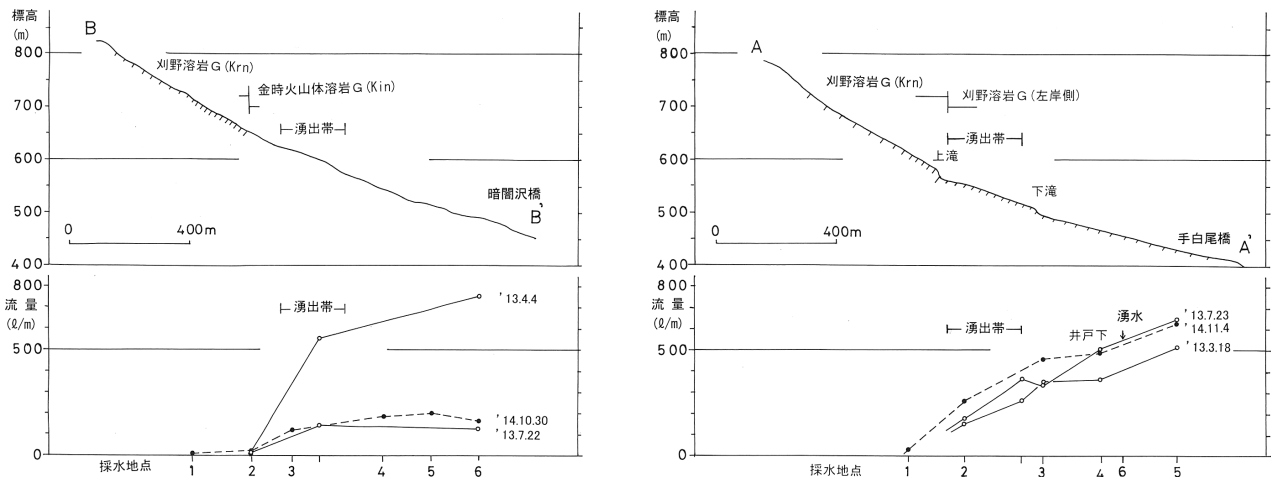


図4 フチジリ沢 (左) およびクラミ沢 (右) の河床縦断面と流量観測結果  
 (調査日 フチジリ沢：2014.3.18,7.23,11.4 クラミ沢：2014.3.18,7.22,10.30)

表2 溶岩グループの特徴

外輪山噴出物 (溶岩グループ)	特徴
明神ヶ岳山頂溶岩グループ	27 万年～ 24 万年前頃に噴出し、玄武岩質成層火山体を構成、
金時火山体・金時山溶岩グループ	60 万年～ 30 万年前頃噴出し、玄武岩質成層火山体を構成
荻野溶岩グループ	60 万年～ 30 万年前頃噴出した無斑晶質安山岩～デイサイト質溶岩流
狩川溶岩グループ	60 万年～ 30 万年前頃噴出し、玄武岩質成層火山体を構成

日本地質学会 (2007) 国立公園リーフレット 1 「箱根火山」を基に作成

(写真 3) まで下流からの魚類等の侵入が可能である。

(2) 地質

箱根火山の地質図(日本地質学会・2007)によれば、試験流域および付近の地質は、地質年代が異なる 4 グループの火山噴出物 (狩川溶岩グループ、荻野溶岩グループ、金時山溶岩グループ、および明神ヶ岳山頂溶岩グループ) で構成されている (図 3)。夫々の形成時期と溶岩質は表 2 のとおりである。

両流域の源流部には水量は少ないが、湧水時でも湧水があって、下流に水量は少ないが表流水が認められた。クラミ沢では火山灰の上に溶岩が被さり、境目から湧水が滴下している (写真 4)。一方、フチジリ沢では尾根部の火山灰で覆われた溶岩塊から湧き出している (写真 5)。

試験流域に限ると、両流域共に表層地質は荻野溶岩グループと金時山溶岩グループで構成されているが、北側のフチジリ沢流域では荻野溶岩グループが占める割合が大きく、かつ上流域の大部分を占めている。一方、南側のクラミ沢流域では上流域を

荻野溶岩グループが、下流域に金時山溶岩グループが夫々分布している。両流域の構成溶岩グループの面積比率を表 1 に示した。

溪流に沿って地質図を参照しながら現地踏査を行って、両流域共に源頭部では金時溶岩グループとその上に流れた荻野溶岩グループを確認し、溪流では溶岩が露出し、流水は殆ど無いが滝状地形となった (写真 6、7)。

荻野溶岩グループの範囲は地形が急峻であるが、金時山溶岩グループ域では傾斜が比較的緩やかになる。この傾斜変換点から崖錐状の堆積物が認められ、中流部となる。ここでは、湧水時には本流の河床から地下水がしみ出して流水が復活し、また湧水を水源とする小流が合流する。さらに下って、中～下流部では河床に溶岩 (写真 8) や固結したローム、火砕流堆積物 (写真 9) が認められ、河川水の覆没浸透は少なく、流水は年間を通して涸れず流れている (写真 10、11)。フチジリ沢では水位観測井の掘削資料 (横山ほか・2013) に明らかなように、地表部の土壌、ローム層の下に不透水性の火砕流堆積物



写真2 クラミ沢治山堰（林道橋上）



写真3 フチジリ沢下滝



写真4 クラミ沢源頭部湧水

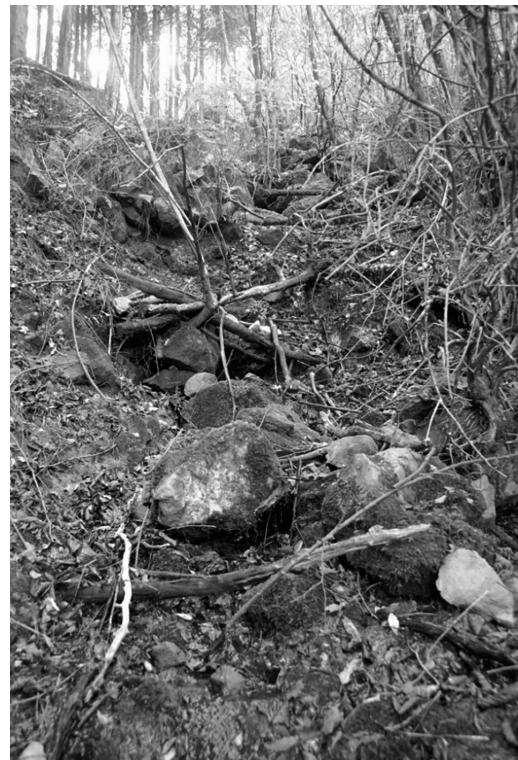


写真5 フチジリ沢源頭部湧水

がある。このことを反映し、すぐ下流側に湧水が見られ、斜面を流れてきた地下水も河床近くで湧き出している。

### (3) 土壌

試験流域の土壌は黒ボク土に分類され、富士火

山の火山灰であるスコリヤを多く含んでいる。降雨時の流域の地下浸透・保水量を左右する土壌A層の分布を土壌断面調査・土壌貫入試験結果から求め、図5に示した。個々の地点の土壌A層の厚さを見ると、ほとんどの地点で大よそ40～75cmの厚さであつ



写真6 クラミ沢湧水帯上の露出した溶岩  
水量は少ない



写真7 フチジリ沢上滝の河床の溶岩  
水量は少ない



写真8 溶岩が露出した河床



写真9 火砕流堆積物が露出した河床

て、2ヶ所で100cmを超えるところがあった(図6)。そして、その飽和透水係数は大部分が $10^{-4}$ m/sec.のオーダーであった。

#### (4) 植生

調査地域がある箱根外輪山は古くから入会地として管理されてきたこともあって、クラミ沢およびフチジリ沢の人工林率はそれぞれ95%、70%と高い。このことを踏まえ、本調査地域では現況の延長で森林管理を継続した場合、森林生育に伴う流況等の水源環境にどのような影響が出現するかモニタ

リングで検証していく位置づけになっている。

平成22年度に行われた森林環境調査報告(神奈川県自然環境保全センターほか、2011)の植生概況図に基づき、流域別に林相別面積率を求めたところ表3のとおりであった。スギ・ヒノキの人工林は、クラミ沢が46%とほぼ半分を占めているが、フチジリ沢では76%と流域の3/4の面積を占めている。人工林では、間伐が適宜行われている。また、アカマツ林はクラミ沢とフチジリ沢で夫々25%、15%となっている。そして、写真12に示したように、



写真 10 湧水帯始まり



写真 11 湧水帯の水流

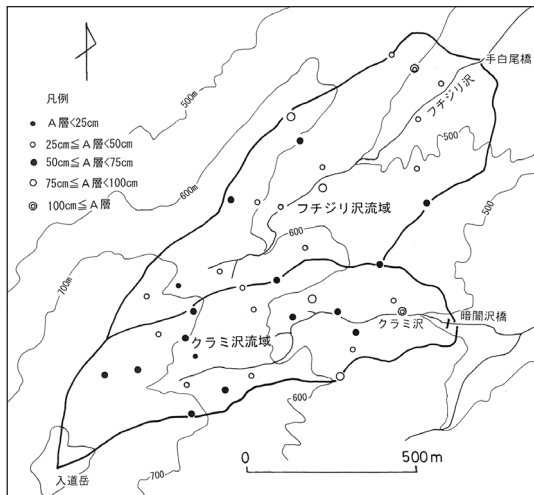


図 5 試験流域の土壌(A層)の層厚分布(5ランク)

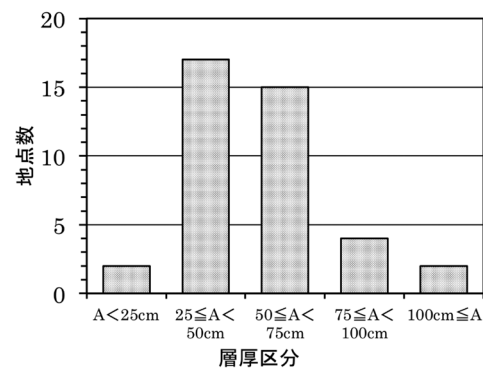


図 6 試験流域のA層土層厚ランク別地点数

人工林では間伐が適宜行われている。林床の状況は、ヒノキ林で植生がやや乏しいものの、通常の状態である。なお、林内でシカに遭遇することがあるが、まだシカ食害は認められていない。

表 3 クラミ沢・フチジリ沢の林相比率 (%)

種類	クラミ沢	フチジリ沢
スギ・ヒノキ林	46	76
アカマツ林	25	15
コナラ林	25	5
その他	5	5

(5) まとめ

以上の内容を取りまとめ、次に示す。

①河床縦断面図で、クラミ沢の標高 640m、フチ

ジリ沢の標高 570m に傾斜変換点があって、傾斜は上流側できつく、下流側が緩い。ここを頂点に崖錐堆積物が堆積し、湧水帯が形成されている。

②クラミ沢の標高 640m 以上、フチジリ沢の標高 500m 以上の河床に溶岩堆積物が露出し、苅野溶岩グループ、金時山溶岩グループが確認できる。さらに下流側では、不透水性の火砕流堆積物やかなり固結したローム層が露出し、表流水の地下浸透は著しくない。

③土壌貫入試験等により A 層の層厚分布を調査したところ、流域全般に大よそ 40 ~ 75 cm であった。

④森林は、スギ・ヒノキ人工林の割合が多く、クラミ沢が 46%、フチジリ沢が 76% となってい

る。

## 2 水文

### (1) 気象観測

平成23(2011)年度に、調査地域の最高部の入道岳に気象観測施設を設置し、降水量、風向、風速、気温および湿度の観測を開始した。箱根火山周辺の年間降水量は2500～3000mmで、丹沢山地(1800～2000mm)より多く、多雨地域である。調査地域では2012年に2345mm、2013年に2512mmが観測された(内山ほか・2016)。

### (2) 流量調査結果と地下水位観測結果

#### ア 流量

試験流域の最下流部で、河川の水位(H)－流量(Q)曲線式の検証と年間の流出の概況を把握するため、大よそ月1度の頻度で流量を実測(断面流速法：電磁流速計を使用)している。2013年～2014年の2

年間の測定結果を月降水量(企業庁足柄)と一緒に図7に示した。

2013年の最大流量は、クラミ沢が4月の大雨に対応して観測された12.5ℓ/秒(4/4)、フチジリ沢は、4月が欠測であったため、秋の多雨時の観測値15.6ℓ/秒(11/12)である。一方、流量の最小値は、フチジリ沢で3.4ℓ/秒(10/9)、クラミ沢で0.6ℓ/秒(8/6)であった。2014年は2月中旬の大雪、6月初旬の前線・低気圧、10月6日の台風による大雨が特記されるものの、梅雨明け後(夏期)の降水量が少なかったことが大きく流況に影響した。流量の最大値は、クラミ沢42.8ℓ/秒(10/7)、フチジリ沢698.9ℓ/秒(10/7)であった。これらは台風18号による大雨直後の記録である。最小値はクラミ沢0.2ℓ/秒(8/18)、フチジリ沢7.3ℓ/秒(1/15)であった。

比流量で2014年10月7日のクラミ沢(42.8ℓ/

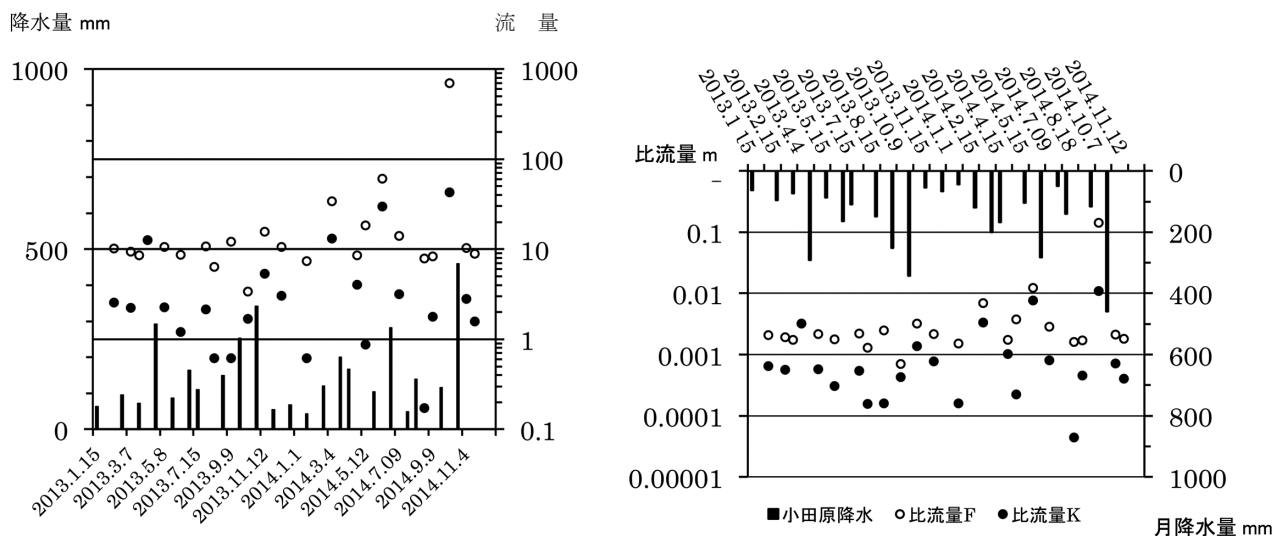


図7 フチジリ沢(○)・クラミ沢(●)の流量調査結果(左：実測値ℓ/秒、右：同比流量m)

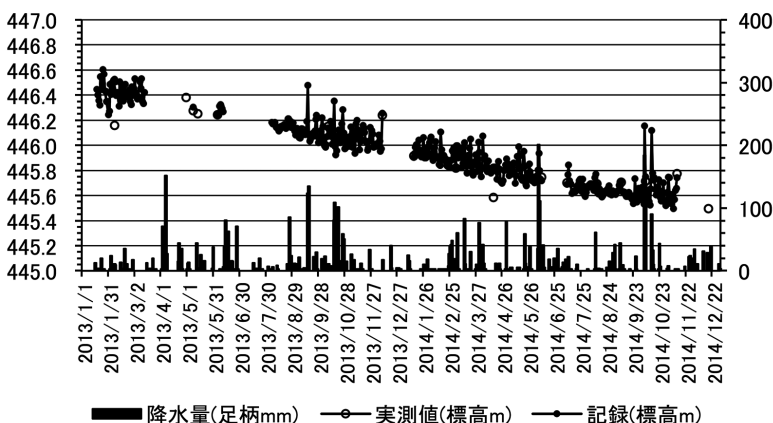


図8 地下水頭観測結果(左軸：水頭、右軸：降水量mm)  
降水量は県企業庁：足柄を使用

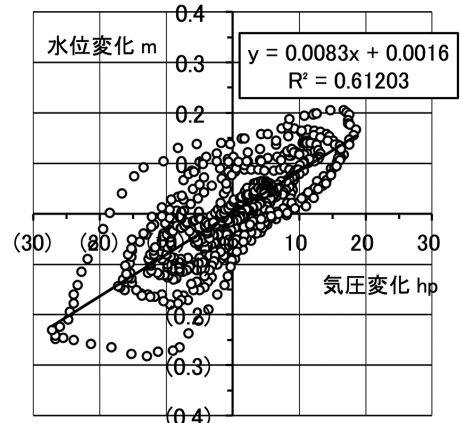


図9 地下水位(縦軸)と気圧(横軸)との相関  
気圧は温泉地学研究所：南足柄を使用

秒) およびフチジリ沢 (698.9ℓ/秒) を比較すると、それぞれ  $0.011\text{m}^3/\text{m}^2/\text{日}$ 、 $0.143\text{m}^3/\text{m}^2/\text{日}$  となって、フチジリ沢の方が約 10 倍大きい。さらに、図 7 左のグラフに示したように、通年の状況をみても、全般にフチジリ沢の比流量が多い。

以上のように、両沢の年間の流況が異なることが分かる。今後は、降雨と流出の総量を水収支上から調査検討し、流域特性の違いを明らかにする必要がある。

### イ 地下水頭

フチジリ沢の左岸に深度 50m の観測井を設置し、地下水位の連続観測を行っている。2014 年の観測結果を標高換算した地下水頭変化として図 8 に示した。

2013・2014 年ともに地下水位は地表から大よそ 36m ~ 26.5m にあって、グラフは右下がり到低下傾向を示している。地下水位深度が深い上、年間変化量が 40 cm と少ない。その中で、2014 年 10 月に 2 度ほど観測された急激かつ短期間の約 50cm の水位上昇が際立つ。この水位上昇は台風接近による気圧低下に対応した変化と考えられた。これまでの観測結果と合わせ、本観測井は間近な降水より気圧変化に敏感対応して変化すると想定された。そこで、2014 年 2 月の低気圧通過時の地下水位と気圧について 1 日 (24 時間) の変化量の相関を見たところ、図 9 のとおりであった。気圧係数 (地下水位変化 / 気圧変化) は  $8.3\text{mm}/\text{hp}$  で、気圧が低下すると地下水位は上昇する (浅くなる)。

### (3) 柄沢流域の流水量変化

クラミ沢とフチジリ沢は合流し、下流で柄沢となって狩川に流入している。両試験流域から狩川流入までの柄沢の流水の状況を調べた。調査は、2014 年 10 月 30 日にクラミ沢、11 月 4 日にフチジリ沢で源流部から試験流域最下流点まで実施し、両沢より下流側は 2010 年 10 月 26 日に行った調査結果 (図 10) を参考に、両調査結果を合わせて検討した。なお、調査地点は図 1、3 に示した。

試験流域内の流量 (図 4) を見ると、クラミ沢は標高 640m 以下、フチジリ沢は標高 570m 以下の傾斜変換点以下の中流部で共に湧水による流量増加が認められ、湧水帯と図中に示した。湧水帯の水量は最下流部まで増加あるいは横ばいとなっていて、著

しい地下浸透は認められない。ここでは、表流水の地下浸透が起こり難い河床条件が想定される。例えば、フチジリ沢河床の溶岩、クラミ沢では河床で火山礫を挟む固結したロームが露出していた。

試験流域より下流側の状況は図 10 により推定できる。クラミ沢は G1 の下で本流と合流した後、G2 で流量が多くなるものの、下流の G3 では 1/4 に減

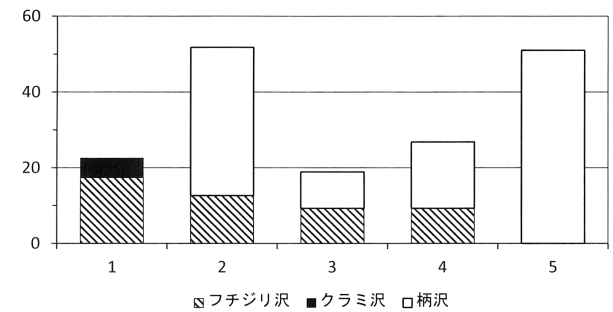


図10 柄沢支流のクラミ沢、フチジリ沢と柄沢 (合流後) の流量観測結果 (2010.10.26) 左軸: 流量 ℓ/秒

少した。フチジリ沢でも F3 で 2/3 に減少し、地下浸透が生じていると考えられる。なお、G5 の流量は増加し、山麓の湧水帯に入ったことを裏付けている。

### (4) 大雨時の流量変化

両沢で量水堰の水位—流量換算式の作成を兼ね、大雨時の流出状況を把握するため 2012 年と 2013 年に行われた台風時の流量・水質観測結果を比較検討した。

#### ① 2012 年 9 月 30 日の台風 17 号接近時の流出

2012 年は 9 月 30 日の台風 17 号接近時に 30 分 ~ 1 時間ごとになる流量観測を行った (神奈川県自然環境保全センターほか、2012)。ハイトグラフ (図 11) 上で両沢の流量を比較すると、降雨前は通年の観測結果と同様にフチジリ沢の方の流量が多かった。図中に示すように、降雨開始後の約 3 時間はク

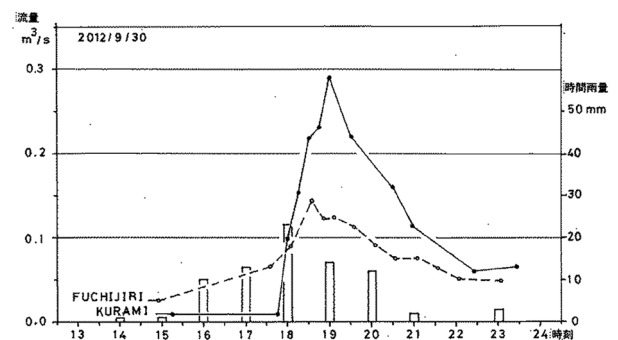


図 11 クラミ沢・フチジリ沢の 2012 年 9 月 30 日の流出状況 (降水量は県企業庁: 足柄を使用)

ラミ沢の流量増加は観測されず、フチジリ沢で流量が多い。その後、両沢の水量は約5時間に及ぶ降雨、とくに18時の最大時間降雨22mm/時に対応して急増した。流量増加はクラミ沢の方が急激で、流量は逆転しクラミ沢の方が多くなった。フチジリ沢のピーク流量は $0.144\text{m}^3/\text{秒}$ （比流量 $0.029\text{m}^3/\text{日}$ ）、クラミ沢のピーク流量は $0.289\text{m}^3/\text{秒}$ （比流量 $0.073\text{m}^3/\text{日}$ ）であった。クラミ沢の流量はフチジリ沢の約2倍で、フチジリ沢より約30分遅れてピーク流量を観測している。

#### ② 2013年9月15日～16日の台風18号接近時の流出

2013年は9月15日～16日の2日間に、降雨に合わせて30分ごとの流量、電気伝導度およびpHを観測した。さらに、9月16日は洪水発生に合わせて濁度観測、採水・一般項目の水質分析を行った（神奈川県自然環境保全センターほか、2014）。流量変化をハイエトグラフ（図12）で、電気伝導度変化を図13に、濁度とイオン構成（ヘキサダイアグラム）の変化を図14に、pH変化を図15に示した。

雨の降り方をみると、9月15日と16日のいずれも午前中に集中する2つの山（第1の山は15日午前3時から12時までの9時間に125.5mm、第2の山の16日は、午前中の12時までの10時間30分に134mm）を観測した。なお、15日以前の3日間は殆んど降水は無かった。ハイエトグラフ（図12）で15日の降雨と流量の状況を見ると、午前9時の強雨に対し、ピーク流量はクラミ沢が $0.272\text{m}^3/\text{秒}$ （比流量 $69.5\text{mm}/\text{日}$ ）、フチジリ沢が $0.255\text{m}^3/\text{秒}$ （比流

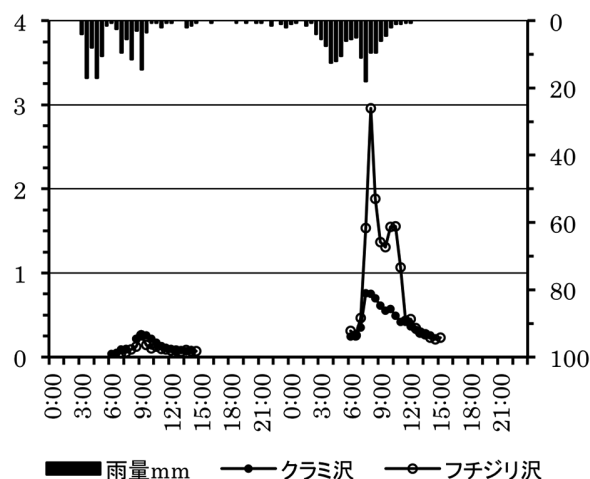


図12 クラミ沢・フチジリ沢の大雨時(9/15・16)の流量変化(左軸:流量 $\text{m}^3/\text{秒}$ 、右軸:降水量 $\text{mm}$ )

量 $52.1\text{mm}/\text{日}$ )でクラミ沢の方が30分早く観測されたことが分かる。

2013年9月15日の流量は、2012年9月の出水(図11)と同様に、クラミ沢よりフチジリ沢の方が流量が少なかった(図12)。しかし、2013年9月16日は、15日に比べ降水量がやや多かったこともあって、流量は大きく増加した。午前7時30分の雨のピーク $18\text{mm}/30\text{分}$ に対し、クラミ沢は同時に $0.759\text{m}^3/\text{秒}$ （比流量 $194.0\text{mm}/\text{日}$ ）を、フチジリ沢では30分遅れて $2.958\text{m}^3/\text{秒}$ （比流量 $604.2\text{mm}/\text{日}$ ）を観測した。両日のピーク流量を比較すると、クラミ沢は2.8倍の増加であったが、フチジリ沢は11.6倍と大幅な増加であった。両者で観測された異なったピーク流量の出現については、引き続き観測事例を集め、解明に努めたい。

#### (5) 大雨時の水質変化

2013年9月15日～16日の大雨時の水質の変化を溶存物質量を反映する電気伝導度変化で示した(図13)。両沢共に無降雨時(平常時の値はクラミ沢が $6\text{ms}/\text{m}$ 程度、フチジリ沢が $8\text{ms}/\text{m}$ 程度)と考えられ、降雨後の流量増加に伴う濃度低下(希釈効果)が観測された。15日の第1の山では午前9時に両流域共に $4\text{ms}/\text{m}$ を観測し、16日の第2の山では流量が多いフチジリ沢の7:30の値 $4.0\text{ms}/\text{m}$ に対し流量の少ないクラミ沢が $3.1\text{ms}/\text{m}$ と小さな値が観測された。

濁度について図14で両沢を比較すると、共に第2の山の7:30分に最大値が観測された。クラミ沢の値が333度でフチジリ沢の値192度に比べ1.7倍

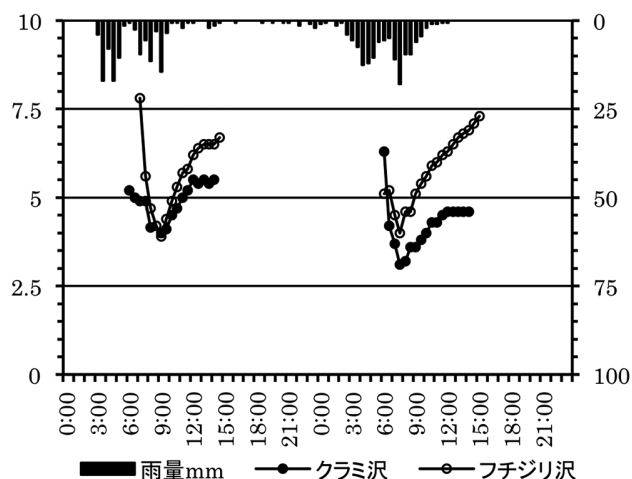


図13 クラミ沢・フチジリ沢の電気伝導度の経時変化(左軸:電気伝導度 $\text{ms}/\text{m}$ 、右軸:降水量 $\text{mm}$ )

であった。さらに、大雨中の渓流水のイオン構成（ヘキサダイアグラム）を大雨前の8月28日の分析結果と比較した（図右）。流量ピーク後に主成分の炭酸イオン（ $\text{HCO}_3^-$ ）とカルシウムイオン（ $\text{Ca}^{2+}$ ）が大きく減少し、溶存物質が少なくなって、希釈されている。

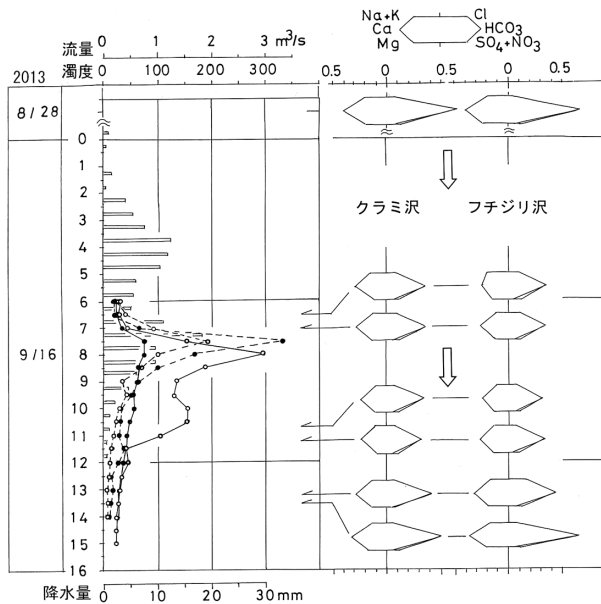


図 14 クラミ沢・フチジリ沢の大雨時の水質変化  
実線：流量、破線：濁度、●：クラミ沢、○：フチジリ沢、右側：ヘキサダイアグラム

さらに、降雨停止後（12時以降）では、流量の減衰傾向と共に、水質（濁度、電気伝導度およびpH）は台風前の状態に向けゆっくりと変化し、水質構成（ヘキサダイアグラム）も復元傾向となった。降雨前後の流量とこれらの水質変化から、降雨前後の基底・直接流出を水質で追跡するため、引きつづきデータ収集に努める必要がある。

#### (6) まとめ

水文に関する以上の調査解析結果を次にまとめた。

①実測値によると、大雨時を除き、年間を通してフチジリ沢の流量がクラミ沢より多い。大雨時にはこの傾向が逆転することがあり、引き続き発生過程の解明が必要である。

②大雨時の両試験流域の観測結果について流量ピーク前後の流量と水質を比較し、降雨強度と流量変化、降雨後の直接流出時の希釈効果や濁度変化、そして降雨停止後の水量減衰と水質回復の状況の把握が欠かせない。

③表流水を供給する地下水の役割（関与率）が大

きいなど、両流域の流況の差を生じさせる原因の解明が欠かせない。水文地質、水収支の検討をさらに進める必要がある。

### III 流域特性

#### 1 水文地質

クラミ沢およびフチジリ沢では、既に言及したように、河床勾配の変換点に崖錐堆積物があって、そこに湧水帯が形成されている。湧水時期では湧水帯より上流側では表流水に乏しい。そして、湧水帯の湧水で増加した表流水は、クラミ沢ではそのまま下流観測点まで流量が持続され、フチジリ沢ではやや増加する。両流域共に溶岩で覆われ、火山斜面の高部にありながら年間を通じ表流水があることは、流域に分布する溶岩グループの浸透性が低いか、あるいは溶岩の下に不透水性の地層があって、上流で地下浸透した地下水が傾斜がゆるくなる地形の変換点で沢に湧水し、湧水帯が形成されていると考えられる。そして、溶岩地で表流水が少ないことと、ボーリング調査で地下に不透水性の地盤が確認されていることなどから、表流水の地下浸透が抑制されている可能性がある。

また、両流域の溶岩グループが占める割合を見ると、フチジリ沢では荻野溶岩グループが67%、金時山グループが33%であるが、クラミ沢では59%と41%となっている。そして、地形や土壤などの流域の物理特性に大きな差は無いので、降雨時の流出に及ぼす要素として、この2つの溶岩グループが占める面積の差、性質が溪流の流出に影響している可能性があると考えられる。

#### 2 かん養・湧出機構

試験流域のクラミ沢およびフチジリ沢の渓流水は、無降雨時には地形変換点から下流側の湧水帯での湧水で賄われている。湧水帯で地下水が河床や崖錐堆積物から湧出し、クラミ沢では横ばいで、フチジリ沢では漸増し、溪流を下る。しかし、試験流域よりさらに下ると、流水は次第に地下浸透し、流量を減少する。そして、麓で再び地表に湧出し、河川や平野地下水を涵養している（図2）。

溶岩グループの構成と分布に違いがある2試験

流域で無降雨時および洪水時の流出に差が認められた。とくに、フチジリ沢での地下水流出の役割がクラミ沢に比べ大きく、このため豊かな流水が保たれていると考えられた。

流量（比流量共に）は、年間を通してフチジリ沢の方がクラミ沢より多く、水収支の上からその詳細を明らかにする必要がある。そして、大雨時の出水と水質変化に状況も差があり、これらを裏付ける水文地質を主とする流域特性上の異同を解明する必要がある。

さらに、流域のスギ・ヒノキ人工林の流域に占める割合を較すると、クラミ沢の46%に比べ、フチジリ沢では76%と大きく、両流域で差があるので、森林管理の影響をモニタリング調査で検証する上で今後留意する必要があると考えられる。

#### IV おわりに

流域が持つ自然特性と森林管理に関わる特徴について調査・検討した。調査は流域全体で透水性が良いといわれる火山斜面において、流量観測結果を説明できる地下浸透を抑制する不透水性の地盤の確認から始めた。引き続き、溶岩そのものの透水性、あるいはボーリング調査や踏査で確認されている不透水性地盤と流出との関係について調査解析を行う必要があると考えている。さらに、流域特性の基に森林が生育し、森林管理が継続される中で流域の流況と生態がどのような関係を持って変遷して行くかを検証するために、流域特性の把握への中・長期的な取り組みが欠かせない。

本調査を行うにあたり、試験流域の設定に関し南足柄市総務課管財班にお世話になりました。温泉地学研究所からは、気圧観測データを提供していただいた。また、本調査にあたり、山根研究企画部長、山中研究連携課長には助言を頂いた。以上の方々に厚くお礼申し上げます。

#### 参考文献

足柄上地区地下水調査研究会・アジア航測株式会社 (2004) 足柄上地区地下水適正揚水量シミュレーション解析業務委託報告書、pp160.

五名美江・蔵治光一郎 (2013) ハゲ山に森林を再生した小流域におけるピーク流出係数の長期変化、日本林学会誌、95(6) : 315-320.

神奈川県自然環境保全センター・株式会社総合環境企画 (2011) 平成22年度対照流域法調査森林環境調査業務報告書、pp41.

神奈川県自然環境保全センター・いであ株式会社 (2013) 対照流域モニタリング溪流環境調査（フチジリ沢）報告書、pp92.

神奈川県自然環境保全センター・株式会社東京建設コンサルタント (2014) 平成25年度対照流域法調査地水・土砂流出調査（フチジリ沢）報告書、pp127.

神奈川県企画部企画調整室 (1987) 土地分類基本調査「小田原・熱海・御殿場」pp73.

児島利治・Edwina ZAINAL・大池永子・大橋慶介・篠田成郎 (2013) タンクモデルと長期水文観測データを用いた森林小流域における緑のダム機能の評価、土木学会論文集G、69(5) : I\_137-I\_144.

蔵治光一郎・保屋野初子編 (2014) 緑のダムの科学、pp253、築地書館、東京.

蔵本康平・篠原慶規・小松光・大槻恭一 (2010) 森林回復が流出に及ぼす影響—地質の異なる2流域における検討—、水文・水資源学会誌、23(1) : 32-42.

真板英一・鈴木雅一・太田猛彦 (2005) 新第三紀層流域における70年生スギ・ヒノキ林伐採による年流出量の変化、日本林学会誌、87(2) : 124-132.

真板英一・鈴木雅一 (2007) 千葉袋山沢流域における伐採による月流出量変化、日本林学会誌、89(4) : 278-287.

真板英一・鈴木雅一 (2008) 森林植性の伐採が山地小流域の流況曲線に与える影響—流況の流域間変動に対する植生要因の大きさの検討—、日本林学会誌、90(1) : 36-45.

長井雅史・高橋正樹 (2008) 箱根火山の地質と形成史、「箱根火山—箱根火山および箱根地域の新しい形成発達史—」、神奈川県立博物館調査研究報告 自然科学 13 : 25-42.

日本地質学会国立公園地質リーフレット1「箱根火

- 山」編集委員会（2007）国立公園地質リーフレット1「箱根火山」、日本地質学会、東京。
- 荻野喜作・横山尚秀・結田康一・小前隆美（1987）  
3）水涵養機能の評価の整理、「流域としての機能」農林水産業のもつ国土資源及び環境保全機能の定量的評価 I 桜川・酒匂川等流域における個別環境機能の評価、国土資源資料No. 21、34-37.
- 恩田裕一編（2008）人工林荒廃と水・土砂流出の実態、pp245、岩波書店、東京。
- 鈴木隆介（1971）第1章 箱根火山の地形—地形の成因—「箱根火山」箱根町、7-42.
- 鈴木秀和・宮下雄次・高橋浩・安原正也（2011）箱根外輪山斜面に分布する湧水の水質および同位体組成、神奈川県温泉地学研究所報告、43：29-38.
- 宝馨・立川康人・児島利治・可児良昭・池淵周一（2004）降雨流出に及ぼす山腹斜面の影響—いわゆる「緑のダム」の洪水調節効果の流域水文学的検討—、京都大学防災研究所年報、No. 47B、171-182.
- 内山佳美・山根正伸（2003）森林における水循環モニタリングの調査設計—大洞沢における検討事例—、自然環境保全センター報告、5：15-24.
- 内山佳美・山根正伸・横山尚秀・山中慶久（2013）神奈川県における水源環境保全・再生施策の検証方法とその実施状況、神奈川県自然環境保全センター報告、10：1-12.
- Yamamoto, Soki (1995) Volcano body springs in Japan, pp264, Kokon-Shoin, Tokyo.
- 横山尚秀・板寺一洋・比日野英俊（1999）足柄平野の地下水賦存特性と自噴帯、日本水文科学会誌、29(2)：81-92.
- 横山尚秀・内山佳美・佐藤壮・山根正伸（2013）試験流域の水文地質等の流域特性、神奈川県自然環境保全センター報告、10：203-214.
- Yokoyama, Takahide (2000) Identification of groundwater sources in the Ashigara Plain using temperature and environment isotopes, Tracers and Modeling in Hydrogeology, IAHS Publ. no. 262：453-458.